

PAPER DETAILS

TITLE: 3-HIDROKSI-6-[(4-HIDROKSIFENİLAMINO)METİLEN]SIKLOHEKZA-2,4-DİYENON' IN
KUANTUM KİMYASAL HESAPLAMALARI ÜZERİNE BİR ÇALIŞMA

AUTHORS: Fatih Tekin, Özkan Kalfa, Basak Kosar, Cem Cüneyt Ersanlı

PAGES: 51-64

ORIGINAL PDF URL: <https://dergipark.org.tr/tr/download/article-file/441051>



3-HİDROKSİ-6-[(4-HİDROKSİFENİL)MİDİYENON' IN KUANTUM KİMYASAL HESAPLAMALARı

*Fatih TEKİN¹, Özkan KALFA, Başak

¹Sinop Üniversitesi, Fen Bilimleri Enstitüsü
f.tekin@sinop.edu.tr

²Sinop Üniversitesi, Eğitim Fakültesi

³Sinop Üniversitesi, Fen-Edebiyat Fakültesi

ÖZET

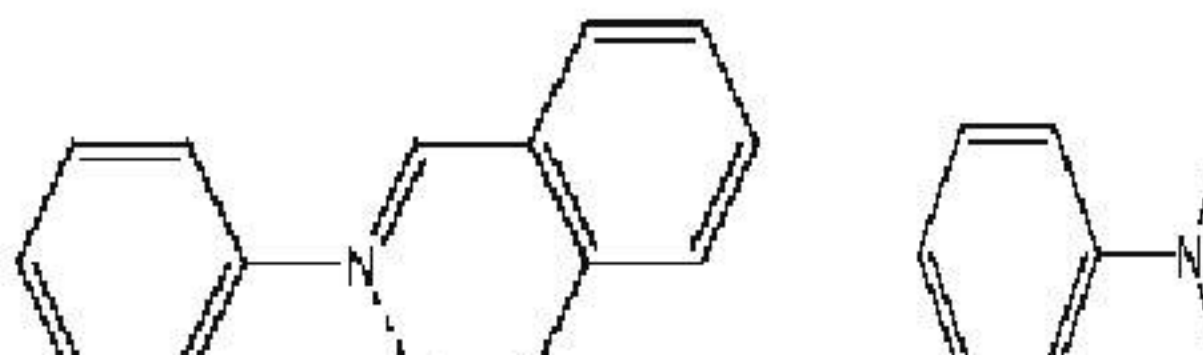
Bu çalışmada, bir Schiff bazı bileşiği olan 3-Hidroksi-6-[(4-hidroksifenil)midiyenon (I)'un kuantum kimyasal hesaplamalar ile kalan tautomerik formunun deneysel (X -ışınları) geometrik torsiyon açıları teorik geometrik parametre değerleri ve tautomerik formdaki yapıları için çizgisel olmayan opsiyonel geometrilerini karşılaştırılmıştır. 100 K ile 1000 K sıcaklık aralığında termodinamik analizleri yapılmıştır. Enol ve keto formların elektronik özelliklere etkisinin anlaşılması için hesaplamalar yapılmıştır. Diferansiyel titrasyon ve su gibi çeşitli çözücü fazlarında yürütülmüşdür. Bütün hesaplamalar 3D MM2 programı kullanılarak yoğunlaşım fonksiyoneli ve 6-31G(d,p) baz seti kullanılarak yoğunlaşım

1.GİRİŞ

Schiff bazları, bir primer amin ve aldehitin reaksiyonu bazi sınıfı ise o-hidroksi türevleridir. Schiff bazları fizikçi ve kimyacıların dikkatini çekmektedir [1].

Fotokromizm gösteren moleküllerin düzlemsel olduğu öne sürülmüştür [2,3]. Schiff bazları biyolojik antitümör, antimantar gibi eczacılıkta önemli ii kullanılmaktadır [4,5]. Ayrıca yaygın olarak ko nanoteknolojide yeni organik materyal olarak kullan özellikleri optik anahtarlar ve veri saklama aygıtları taşımaktadır [7,8]

o-Hidroksi Schiff bazları katı halde enol-imin veya amin tautomerler zwitteriyonik [9,10] şeklinde de b birbirlerinden N^+ -H bağ mesafeleri ve aromatik halk bazlarının güçlü molekül içi hidrojen bağları üç tür o (b) N–H...O in keto-amin tautomer ve (c) N^+ -H... bağlarını göstermektedir.



Söz konusu molekülün tautomerleri için optimize edilmemiştir ve potansiyel enerji yüzeylerinde gerek hesaplamalar kişisel bir bilgisayarda Gaussian03W yazılımının kullanılarak yapılmıştır [18]. Molekülün doğrusal olma, doğrusal polarizasyonu ve toplam statik ilk hidrojen bağ orbitali (NBO) analizi kullanılarak gaz fazındaki optimize edilmiş geometri fonksiyonlardaki yani entropi, entalpi ve ısısı kapalı tautomerik formlar için farklı sıcaklıklarda incelenmiştir.

3. SONUÇ VE TARTIŞMALAR

3-Hidroksi-6-[(4-hidroksifenilamino) metilen] sikloheptan-2-one kristal yapı parametreleri, $a = 13.2578(11)$ Å, $b = 7.044(1)$ Å, $c = 11.440(1)$ Å, $\alpha = 90^\circ$, $\beta = 90^\circ$, $\gamma = 90^\circ$ olacak şekilde kristallenmiş ve X-ışını verilerine göre tautomerik formu benimsemiştir [19].

Keto-amin formu için deneysel olarak ve hem enol-imin formu için teorik olarak elde edilen geometrik parametrelerin ve atom açısından açıları Çizelge 1 ve Çizelge 2'de listelenmiştir.

Çizelge 1. Keto formu için gaz ve çeşitli çözüçülerdeki deneysel ve teorik hesaplamaları.

C7-C8-C9	119.60	120.278	120.278
C7-C8-C13	121.79	119.775	119.775
O2-C13-C12	122.19	122.146	122.146
O2-C13-C8	119.33	121.613	121.613
Torsiyon Açıları			
C1-N1-C7-C8	-179.087	-178.872	-178.872
N1-C7-C8-C13	-0.021	-0.083	-0.083
C7-C8-C13-O2	2.264	-0.148	-0.148

Çizelge 2. Enol form için gaz ve çeşitli çözücü分子
açılarının değerleri.

Parametreler	Gaz	Kloroform	Dikloretan
Bağ uzunlukları			
C1-N1	1.40477	1.40477	1.40477

O2-C13-C8	119.045	119.045	119.045
Torsyon Açıları			
C1-N1-C7-C8	-177.161	-177.161	-177.161
N1-C7-C8-C13	2.900	2.900	2.900
C7-C8-C13-O2	-0.006	-0.006	-0.006

Çizelge 1 ve Çizelge 2 den de görüldüğü üzere X-1 gelen geometriler arasında iyi bir uyum vardır gözlenmiştir.

Deneysel olarak 13.52° bulunan halkalar arası açı edilmiştir. Düzlemsellikten sapan bu değerlere göre k söylemek yanlış olmayacağından.

Bir molekülün doğrusal olmayan optik özelliklerini teknolojisi, sinyal işleme ve optik bağlantı materyalleri Özellekle organik moleküller hızlı NLO yanıt süre sabitleri ve büyük NLO duyarlılığı doğuran akseptör sebebiyle bu alanda yaygın olarak incelenir.

Organik moleküller bu avantajlara sahip olmasına rağmen Genellikle bunların düşük ısıl kararlılıklarları ve rastgele

Çizelge 3. Keto ve enol tautomerik formlar için B3LYP/6-31G(d,p) tezgah moment, ortalama polarizasyon ve ikinci dereceden korelasyon faktörlerinin değerleri

Bileşenler

B3LYP/6-31G(d,p)

Keto Form

$\mu_i(D)$

μ_x

0,98478150

μ_y

0,1599892

μ_z

-0,14224230

M_{tot}

2,561222119

$\alpha_{ij}(\text{Å}^3)$

α_{xx}

359,63623270

α_{yy}

153,34333360

α_{zz}

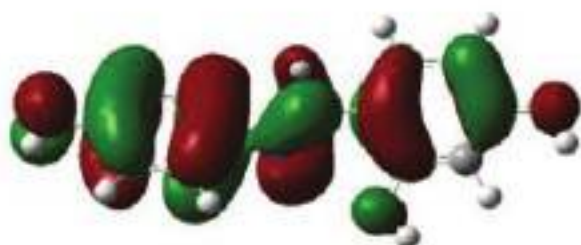
53,79452460

A

25,42580399

$\beta_{ijk} \times 10^{-30} (\text{cm e.s.u.}^{-1})$

Moleküler orbital teorisine göre; moleküller mey birbirlerine yaklaştıklarında molekül oluşmasını sa orbitalleri oluşturur. Bu orbitaller moleküldeki elektronlar olarak düşünülebilir [24]. En yüksek dolu moleküler orbital enerjisi (E_{LUMO}) kimyasal reaksiyonlara katı elektron verme ($\pi_{donör}$), LUMO enerjisi molekülün elektron Şekil 2'de başlıkta adı geçen molekül için B3LYP/6-31G(h) hesaplanan HOMO ve LUMO enerjileri görülmektedir.



(a) HOMO Enol Form

İyonizasyon potansiyeli ($I = -E_{HOMO}$), gaz fazında molekülün minimum enerjisidir. Elektron ilgisi ($A = -E_{LUMO}$), yükselen enerji miktarı olarak tanımlanır. Elektron çekme gücünü ifade etmektedir. Kimyasal sertlik, engellenmesinin bir ölçüsüdür. Kimyasal sertlik değerini azdır veya hiç gerçekleşmemektedir [27]. Kimyasal sertlik olmasının yani molekül içi yük transferleri fazladır. hesaplanan yukarıda bahsedilen parametreler keto ve enol tautomerlerinin enerjilerini göstermektedir.

$$X = \frac{I+A}{2}$$

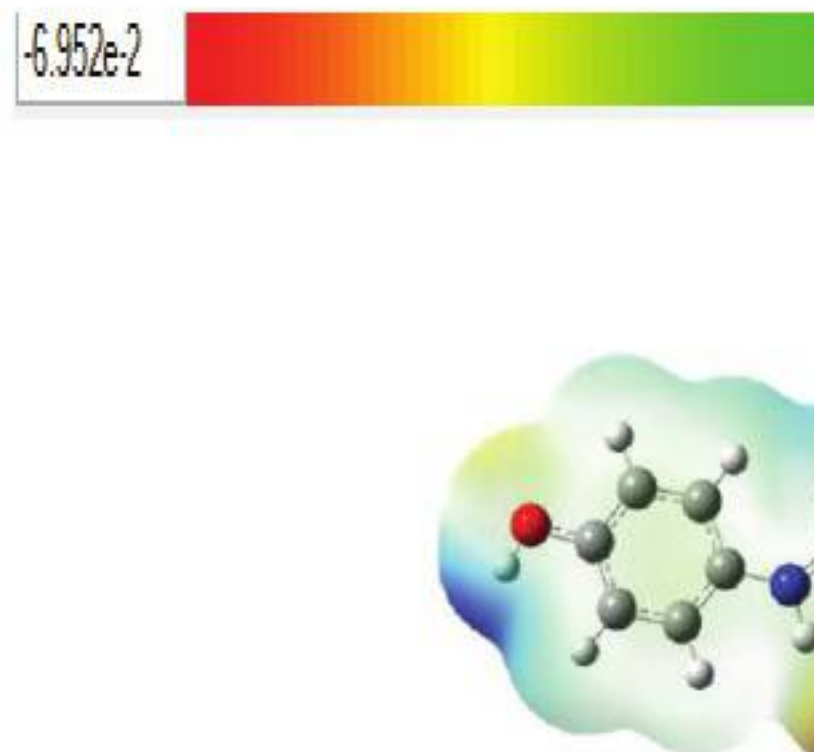
$$\eta = \frac{I-A}{2}$$

$$S = \frac{1}{2\eta}$$

Çizelge 4. Keto ve enol tautomerleri için B3LYP/6-31G(d,p)

	Keto
HOMO	-0,190090
LUMO	-0,062470

bölgeleri belirtir. Şekil 3 incelendiğinde, nötral form 4-diyenon'un
bölgelerin oksijen atomlarının civarında olduğu ve elektron密度
H bölgesinde olduğu bulunmuştur.



Şekil 3. MEP haritası

Bir molekülün ilk hiperpolarizasyonu bir molekülün
acıklanabilir NBO analizi, molekül içindeki dolu L

Çizelge 5. Keto tautomerik formu için NBO analizi.

Donör	Akseptör	E
BD(2)C1-N1	BD*(2)C7-C8	3
BD(2)C2-C3	LP(1)C4	5
BD(2)C2-C3	BD*(2)C1-N1	2
BD(2)C5-C6	LP(1)C4	5
BD(2)C5-C6	BD*(2)C1-N1	2
BD(2)C7-C8	BD*(2)C9-C10	2
BD(2)C7-C8	BD*(2)C13-O2	2
BD(2)C9-C10	BD*(2)C11-C12	2
BD(2)C11-C12	BD*(2)C13-O2	2
LP(1)C4	BD*(2)C2-C3	6
LP(1)C4	BD*(2)C5-C6	6
LP(2)O1	LP(1)C4	5

Çizelge 6. Enol tautomerik formu için NBO analizi.

Donör	Akseptör	<i>E</i>
BD(2)C1-C6	BD*(2)C2-C3	2.0
BD(2)C1-C6	BD*(2)C4-C5	1.9
BD(2)C2-C3	BD*(2)C1-C6	1.8
BD(2)C2-C3	BD*(2)C4-C5	2.0
BD(2)C4-C5	BD*(2)C1-C6	2.0
BD(2)C4-C5	BD*(2)C2-C3	1.9
BD(2)C8-C13	BD*(2)C7-N1	1.9
BD(2)C8-C13	BD*(2)C9-C10	2.0
BD(2)C8-C13	BD*(2)C11-C12	1.9
BD(2)C9-C10	BD*(2)C11-C12	2.0
BD(2)C11-C12	BD*(2)C8-C13	2.0
LB(2)O1	BD*(2)C4-C5	2.0

Çizelge 7. Tautomerlerin elektronik geçiş doğalarının

	λ_{max} (nm)
Enol form	345.46 nm
Keto form	390.99 nm

Frekans hesaplamalarında moleküller bir sistem içim termal fonksiyonlar da sıfır nokta enerjisi yardımcı koşulları göz önüne alındığında, sistemin termodinamik özelliklerini tarif etmek için, standart entropi (S^0_m) ve entalpi (H^0_m) tautomerlerin termal DFT/B3LYP yöntemi kullanılarak 6-31G(d,p) bazı tautomerik form için listelenmiştir.

Çizelge 8. Keto ve enol tautomerleri için hesaplanan e

Keto Form

T(K)	$C^0_{p,m}$	S^0_m	H^0_m
------	-------------	---------	---------

1000 124.236 233.939 79,71167626

$$C_{p,m}^0(T) = -1,77275 + 0,22481T - 9.96188 \times 10^{-5} T^2$$

$$R^2 = 0,999$$

$$S_m^0(T) = 58,71985 + 0,22483T - 4,952 \times 10^{-5} T^2$$

$$R^2 = 0,999$$

$$H_m^0(T) = -21,7468 + 0,13018T - 4,11319 \times 10^{-5} T^2$$

$$R^2 = 0,901$$

4. SONUÇ

Bu çalışmada X-ışınları geometrisinin verilerinde metilen]siklohekza-2,4-diyenon'un yoğunluk fonksiyon hesaplamaları gerçekleştirilmiştir. Bu çalışmanın amacı molekülün optik ve termodinamik özellikleri konusu bileşigin molekül geometrisi için hesaplanan ışınlarından gelen sonuçlar ile iyi bir uyum göstermektedir. Yüksek dolu ve en düşük moleküller orbitaler arasında zamanda doğal bağ orbital analizi ve sınır moleküler tautomerlerin doğrusal olmayan optik özelliklerinden

- [7] AP. Alivisatos, PF. Barbara, AW. Castleman, J. C. Miller, MA. Ratner, PJ. Rossky, SI. Stupp, ME. Thomas, *J Am Chem Soc*, 115:12532-12540, (1993).
- [8] L. Dalton, *Adv Polym Sci*, 158:1(2002).
- [9] E. Temel, Ç. Albayrak, O. Büyükgüngör, M. Odabaşoğlu, *Polym Lett Ed*, 2003, 24:1-4.
- [10] H. Petek, Ç. Albayrak, N. Ocak-İskeleli, E. Ağar, *J Appl Phys*, 92:1035-1039, (2004).
- [11] T. Ziegler, *Pure Appl Chem* 63:873, (1991).
- [12] PMW. Will, BG Johnson, JA Pople, MJ Frisch, *J Am Chem Soc*, 115:12532-12540, (1993).
- [13] C. Lee, W. Yang, RG. Parr, *Phys Rev B* 37:785, (1988).
- [14] AD Becke, *J Chem Phys* 98:5648, (1993).
- [15] PC. Hariharan, JA. Pople, *Theor Chim Acta* 28:213-222, (1973).
- [16] R. Ditchfield, WJ. Hehre, JA. Pople, *J Chem Phys* 54:724-729, (1971).
- [17] B. Koşar, Ç. Albayrak, M. Odabaşoğlu, O. Büyükgüngör, *Polym Lett Ed*, 2003, 24:1-4.
- [18] MJ. Frisch, *et al.* Gaussian, Inc., CT. Wallingford, USA, 2003.
- [19] B. Koşar, O. Büyükgüngör, Ç. Albayrak ve M. Odabaşoğlu, *Polym Lett Ed*, 2003, 24:1-4.